

УДК 621.315.592

І.В. Гуцул, А.А. Ащеулов, В.І. Гуцул

Дослідження вольт-ватної чутливості анізотропного оптико-термоелемента при термостатуванні його бокової грані

Чернівецький національний університет імені Юрія Федьковича,
вул. Коцюбинського, 2, Чернівці, 58012, Україна, тел. (037-22) 4-43-19, ss-dpt@chnu.cv.ua

Проведено розрахунок двомірного розподілу температури анізотропного оптикотермоелемента (АОТ) із врахуванням термостатування його бокової грані. Одержано вираз поперечної термо-е.р.с. і досліджено вольт-ватну чутливість АОТ для випадків оптичного пропускання і поверхневого поглинання.

Ключові слова: анізотропне середовище, оптикотермоелемент, променевий потік, поперечна термоелектрорушійна сила, вольт-ватна чутливість.

Стаття поступила до редакції 17.11.2001; прийнята до друку 11.05.2002

Дослідження термоелектричних явищ в анізотропних середовищах [1-3] привели до появи пристроїв, названих анізотропними оптикотермоелементами (АОТ) [4-5], які працюють в різних режимах [6-7] і використовуються для розв'язування цілого ряду задач [8-10]. В даній роботі викладена теорія АОТ і проаналізовані їхні параметри та можливості при термостатуванні бокової грані.

Розглянемо АОТ, який являє собою пластину 1 із заданими розмірами a , b , c (рис. 1) з матеріалу, анізотропного за коефіцієнтами термо-е.р.с. $\hat{\alpha}$ і теплопровідності $\hat{\chi}$. Тензори $\hat{\alpha}$ і $\hat{\chi}$ в лабораторній системі координат (XYZ) , повернутій на кут φ в площині XOY відносно кристалографічної $(X'Y'Z')$, мають вигляд.

$$\hat{\alpha} = \begin{pmatrix} \alpha_{\parallel} \sin^2 \varphi + \alpha_{\perp} \cos^2 \varphi & (\alpha_{\parallel} - \alpha_{\perp}) \sin \varphi \cos \varphi & 0 \\ (\alpha_{\parallel} - \alpha_{\perp}) \sin \varphi \cos \varphi & \alpha_{\parallel} \cos^2 \varphi + \alpha_{\perp} \sin^2 \varphi & 0 \\ 0 & 0 & \alpha_{\perp} \end{pmatrix}, \quad (1)$$

$$\hat{\chi} = \begin{pmatrix} \chi_{\parallel} \sin^2 \varphi + \chi_{\perp} \cos^2 \varphi & (\chi_{\parallel} - \chi_{\perp}) \sin \varphi \cos \varphi & 0 \\ (\chi_{\parallel} - \chi_{\perp}) \sin \varphi \cos \varphi & \chi_{\parallel} \cos^2 \varphi + \chi_{\perp} \sin^2 \varphi & 0 \\ 0 & 0 & \chi_{\perp} \end{pmatrix}. \quad (2)$$

На верхню грань термоелемента 1 падає променевий потік енергії густиною q_0 . Права бокова грань знаходиться в теплоконтаті з термостатом 2 при температурі $T = T_0$. Нижня і торцеві грані адіабатично ізолювані. Рівномірний монохроматичний променевий потік густиною q_0 і довжиною хвилі λ_0 , пройшовши через такий АОТ, зумовлює появу в ньому градієнта температури і поперечної термо-е.р.с. Розподіл температури в пластині знаходимо із

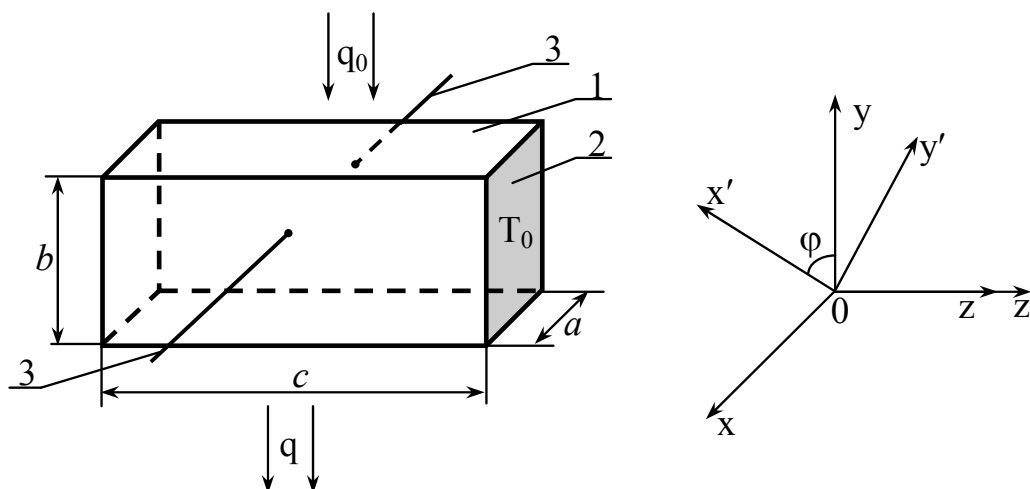


Рис. 1. Схема АОТ: анізотропна пластину (1); термостат (2); електровиводи (3).
Справа – лабораторна система координат XYZ і орієнтація кристалографічних осей $X'Y'Z'$ монокристалічної пластини 1.

закону теплопровідності [11], який при наявності внутрішніх джерел тепла для стаціонарного випадку $\frac{\partial T}{\partial t} = 0$ в наближенні $\chi_{12} < \chi_{22}$ має такий вигляд

$$\beta^2 \frac{\partial^2 T}{\partial y^2} + \frac{\partial^2 T}{\partial z^2} + \frac{q_0 \gamma}{\chi_{33}} e^{-\gamma(b-y)} = 0. \quad (3)$$

В рівнянні (3) γ – коефіцієнт поглинання матеріалу АОТ, а $\beta^2 = \frac{\chi_{22}}{\chi_{33}}$.

Розв'язок рівняння теплопровідності (3) будемо знаходити за наступними крайовими умовами

$$\left. \frac{\partial T}{\partial x} \right|_{x=0} = \left. \frac{\partial T}{\partial x} \right|_{x=a} = 0, \quad \left. \frac{\partial T}{\partial y} \right|_{y=0} = \left. \frac{\partial T}{\partial y} \right|_{y=b} = 0, \\ \left. \frac{\partial T}{\partial z} \right|_{z=0} = 0, \quad T|_{z=c} = T_0. \quad (4)$$

Відомо, що власною функцією задачі Штурма-Ліувіля

$$\frac{d^2 f}{dy^2} + \lambda^2 f = 0, \quad \left. \frac{df}{dy} \right|_{y=0} = \left. \frac{df}{dy} \right|_{y=b} = 0 \quad (5)$$

є функція $\cos \lambda_n y$, яка відповідає власному значен-

ню $\lambda_n = \frac{n\pi}{b}$, де $n = 0, 1, 2, \dots$. Тоді система

$\{\cos \lambda_n y\}_{n=0}^{\infty}$ є повною, замкнутою, ортогональною системою функцій на відріжку $[0, b]$. Це дозволяє ставити питання про розклад функції $f(y)$ в ряд Фур'є за цією системою.

Функція $f(y)$ за своїм зображенням [12]

$$\hat{F}_n[f(y)] = \int_0^b f(y) \cos \lambda_n y dy \equiv f_n \quad (6)$$

однозначно відновлюється згідно з правилом

$$f(y) = \hat{F}_n^{-1}[f_n] = \frac{1}{b} \sum_{n=0}^{\infty} \delta_n f_n \cos \lambda_n y, \quad (7)$$

$$\text{де } \delta_n = \begin{cases} 1, & n = 0, \\ 2, & n = 1, 2, 3, \dots \end{cases}$$

Застосуємо до задачі (3)-(4) оператор \hat{F}_n за правилом (6). Внаслідок тотожності

$$\hat{F}_n \left[\beta^2 \frac{\partial^2 T}{\partial y^2} \right] = \int_0^b \beta^2 \frac{\partial^2 T}{\partial y^2} \cos \lambda_n y dy = -\beta^2 \lambda_n^2 T_n(z), \quad (8)$$

$$\text{де } T_n(z) = \int_0^b T(y, z) \cos \lambda_n y dy.$$

Маємо задачу знаходження розв'язку наступного диференціального рівняння

$$\frac{d^2 T_n(z)}{dz^2} - \beta^2 \lambda_n^2 T_n(z) = -\Phi_n, \quad z \in (0, c), \quad (9)$$

$$\Phi_n = \int_0^b \frac{q_0 \gamma}{\chi_{33}} e^{-\gamma(b-y)} \cos \lambda_n y dy \quad (10)$$

за крайовими умовами

$$\left. \frac{dT_n(z)}{dz} \right|_{z=0} = 0, \quad T_n(z)|_{z=c} = T_{0n},$$

$$T_{0n} = \int_0^b T_0 \cos \lambda_n y dy = \begin{cases} T_0 b, & n = 0, \\ 0, & n = 1, 2, 3, \dots \end{cases} \quad (11)$$

Для $n = 0$ розв'язок задачі (9)-(11) має вигляд

$$T_0(z) = T_0 b + \frac{q_0}{2\chi_{33}} (e^{-\gamma b} - 1)(z^2 - c^2). \quad (12)$$

При $n > 0$ загальний розв'язок неоднорідного рівняння (9) шукаємо у вигляді

$$T_n(z)|_{n>0} = T_n^{\text{одн}}(z)|_{n>0} + T_n^{\text{неодн}}(z)|_{n>0}. \quad (13)$$

Загальний розв'язок однорідного рівняння (9) при $n > 0$

$$T_n^{\text{одн}}(z)|_{n>0} = A_{1n} \text{ch} \lambda_n z + A_{2n} \text{sh} \lambda_n z. \quad (14)$$

Для часткового розв'язку неоднорідного рівняння (9) із врахуванням (10) одержуємо

$$T_n^{\text{неодн}}(z)|_{n>0} = \frac{q_0 \gamma^2}{\chi_{33} \beta^2} \frac{[(-1)^n - e^{-\gamma b}]}{\lambda_n^2 (\lambda_n^2 + \gamma^2)}. \quad (15)$$

Коефіцієнти A_{1n} і A_{2n} знаходимо за крайовими умовами (11) при $n > 0$

$$A_{1n} = -\frac{q_0 \gamma^2 [(-1)^n - e^{-\gamma b}]}{\chi_{33} \beta^2 \lambda_n^2 (\lambda_n^2 + \gamma^2) \text{ch}(\beta \lambda_n c)}, \\ A_{2n} = 0. \quad (16)$$

Загальний розв'язок неоднорідного диференціального рівняння (9) при $n \geq 0$ із врахуванням (12)-(16) матиме вигляд

$$T_n(z) = T_0 b + \frac{q_0}{2\chi_{33}} (e^{-\gamma b} - 1)(z^2 - c^2) + \frac{q_0 \gamma^2}{\chi_{33} \beta^2} \frac{[(-1)^n - e^{-\gamma b}]}{\lambda_n^2 (\lambda_n^2 + \gamma^2)} \left\{ 1 - \frac{\text{ch}(\beta \lambda_n z)}{\text{ch}(\beta \lambda_n c)} \right\}. \quad (17)$$

Застосувавши обернене інтегральне косинус-перетворення Фур'є (7) до розв'язку (17), одержуємо наступний вираз для розподілу температури

АОТ

$$T(y, z) = T_0 + \frac{q_0}{2\chi_{33}} (e^{-\gamma b} - 1)(z^2 - c^2) + \frac{2q_0 \gamma^2}{\chi_{22} b} \sum_{n=1}^{\infty} \frac{[(-1)^n - e^{-\gamma b}]}{\lambda_n^2 (\lambda_n^2 + \gamma^2)} \left\{ 1 - \frac{\text{ch}\left(\sqrt{\frac{\chi_{22}}{\chi_{33}}} \lambda_n z\right)}{\text{ch}\left(\sqrt{\frac{\chi_{22}}{\chi_{33}}} \lambda_n c\right)} \right\} \cos \lambda_n y \quad (18)$$

Компоненти напруженості термоелектричного поля \vec{E}^T визначаються співвідношенням

Поперечна складова напруженості E_x^T термоелектричного поля із врахуванням (18) має вигляд

$$E_i^T = \sum_{k=1}^3 \alpha_{ik} \frac{\partial T}{\partial x_k}. \quad (19)$$

$$E_x^T = \frac{2q_0 \gamma^2}{\chi_{22} \beta} \alpha_{12} \sum_{n=1}^{\infty} \frac{[(-1)^n - e^{-\gamma b}]}{\lambda_n (\lambda_n^2 + \gamma^2)} \left\{ \frac{\text{ch}\left(\sqrt{\frac{\chi_{22}}{\chi_{33}}} \lambda_n z\right)}{\text{ch}\left(\sqrt{\frac{\chi_{22}}{\chi_{33}}} \lambda_n c\right)} - 1 \right\} \sin \lambda_n y. \quad (20)$$

Поперечна термо-е.р.с. згідно [12] визначається за допомогою виразу

Підставляючи (20) в (21), одержуємо після інтегрування

$$\varepsilon = \frac{1}{bc} \int_0^b dy \int_0^c dz \int_0^a E_x^T dx. \quad (21)$$

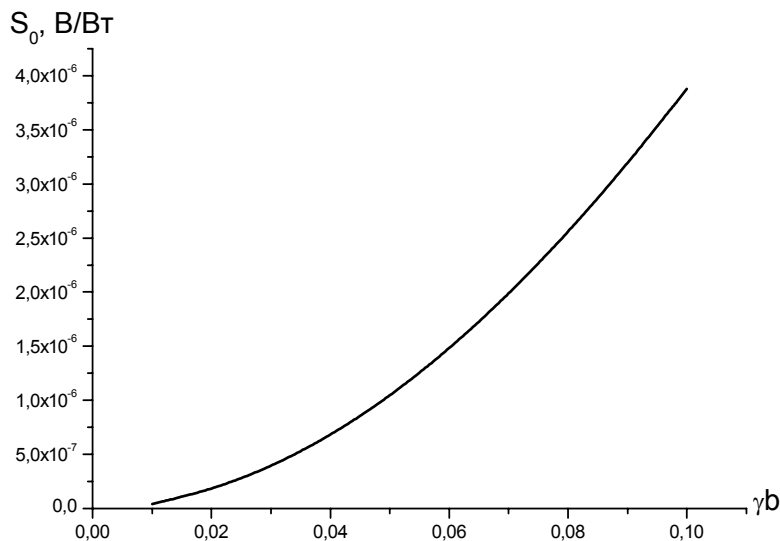


Рис. 2. Залежність вольт-ватної чутливості S_0 АОТ із CdSb у випадку оптичного пропускання ($\gamma b \ll 1$) при однобічному термостатуванні.

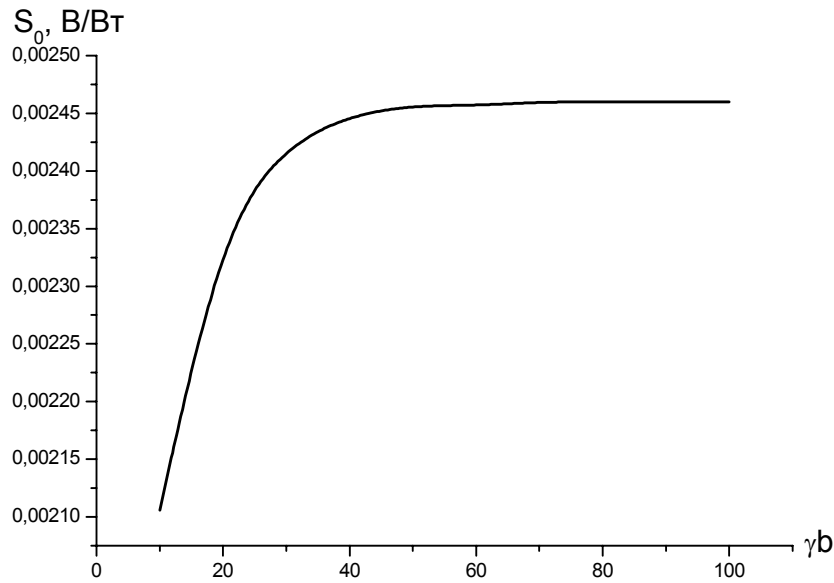


Рис. 3. Залежність вольт-ватної чутливості S_0 АОТ із CdSb у випадку поверхневого поглинання ($\gamma b \gg 1$) при однобічному термостатуванні.

$$\varepsilon = \frac{a}{b} \alpha_{12} \frac{4q_0}{\chi_{22}} \sum_{k=0}^{\infty} \frac{(1 + e^{-\gamma b})(\gamma b)^2}{(2k+1)^2 \pi^2 \left[(2k+1)^2 \pi^2 + (\gamma b)^2 \right]} \times \left\{ 1 - \frac{\chi_{33}}{\chi_{22}} \frac{b}{(2k+1)\pi c} \operatorname{th} \left[\frac{\chi_{22}}{\chi_{33}} \frac{(2k+1)\pi c}{b} \right] \right\}. \quad (22)$$

Одним із актуальних параметрів розглядуваних АОТ є вольт-ватна чутливість, яка, згідно з означенням, визначається співвідношенням

$$S_0 = \frac{\varepsilon}{q_0 \alpha c}. \quad (23)$$

Підставивши (22) в (23), одержимо

$$S_0 = \left\{ \frac{4\alpha_{12}}{\chi_{22} c} \sum_{k=0}^{\infty} \frac{(1 + e^{-\gamma b})(\gamma b)^2}{(2k+1)^2 \pi^2 \left[(2k+1)^2 \pi^2 + (\gamma b)^2 \right]} \right\} \times \left\{ 1 - \frac{b}{(2k+1)\pi c} \cdot \frac{\chi_{33}}{\chi_{22}} \operatorname{th} \left[\frac{\chi_{22}}{\chi_{33}} \frac{(2k+1)\pi c}{b} \right] \right\}. \quad (24)$$

Співвідношенням (24) визначається також і вольт-ватна чутливість АОТ, ліва бокова грань якого термостатована, а всі інші адіабатично ізольовані.

На рис. 2, 3 наведено графіки залежності вольт-ватної чутливості S_0 від γb у випадках оптичного пропускання ($\gamma b \ll 1$) і поверхневого поглинання ($\gamma b \gg 1$) для АОТ із CdSb при термостатуванні правої або лівої бокової грані. Встановлено, що у випадку оптичного пропускання вольт-ватна чутливість АОТ зростає із ростом γb . У випадку поверхневого поглинання вольт-ватна чутливість також зростає, але характеризується більшими за величиною значеннями, ніж у випадку оптичного пропускання. Використання таких АОТ дозволяє проводити ре-

естрацію променивих потоків з найменшим спотворенням енергії в поперечному перерізі. Крім цього, при застосуванні таких термоелементів відпадає потреба оптично прозорих тепловідводів і клеїв, що веде до зростання часової стабільності приладів, які базуються на їх основі.

І.В. Гуцул – доктор фізико-математичних наук, професор кафедри теоретичної фізики;
А.А. Ащеулов – доктор фізико-математичних наук, провідний науковий співробітник;
В.І. Гуцул – студент кафедри теоретичної фізики.

- [1] W. Tomson. On thermoelectric currents in linear conductors of crystallintidiens.// *Math.Phys. Papers*, **1**, pp. 266-273 (1882).
- [2] С.Л. Королюк, И.М. Пилат, А.Г. Самойлович, В.Н. Слипченко, А.А. Снарский, Е.Ф. Царьков. Элементарная теория анизотропного термоэлемента.// *ФТП*, **7**(10), сс.725-734 (1973).
- [3] А.А. Ащеулов, В.М. Кондратенко, Ю.Б. Пилявский, И.М. Раренко. ЭДС анизотропного термоэлемента.// *УФЖ*, **29**(9), сс.1427-1429 (1984).
- [4] А.А. Ashcheulov, I.V. Gutsul. Anisotropic optical thermoelectric elements // *J. of Thermoelectricity*. **3**, pp.81-89 (1997).
- [5] А.А. Ащеулов. Фізико-хімічні основи технології оптичних, анізотропних термоелектричних і оптико-термоелектричних матеріалів з антимоніду кадмію.// *Автореф. докт. дис.*, Чернівці (1994).
- [6] І.В. Гуцул. Анізотропний оптикотермоелемент у випадку збігу напрямків променевого потоку та градієнта температури.// *УФЖ*, **43**(10), сс.1278-1281 (1998).
- [7] А.А. Ащеулов, І.В. Гуцул, А.І. Раренко. Електрорушійна сила і коефіцієнт корисної дії анізотропного термоелемента у випадку врахування анізотропії коефіцієнтів термо-е.р.с. і теплопровідності // *УФЖ*, **42**(6), сс.698-701 (1997).
- [8] И.В. Гуцул. Анизотропный радиационный термоэлемент для измерения проходящей мощности в случае термостагирования верхней рабочей грани.// *Опт.журн.* **66**(7), сс.109-111 (1999).
- [9] А.А. Ащеулов. Анизотропный радиационный термоэлемент для измерения проходящей мощности.// *Опт.мех.пром.*, **12**, сс.48-49 (1989).
- [10] А.А. Ashcheulov. On the possibility of parametric control of anisotropic thermoelements using the effect of thermal conduction anisotropy. // *J. of Thermoelectricity*, **4**, pp.59-64 (1995).
- [11] А.В. Лыков. *Теория теплопроводности*. Высшая школа, М. (1967).
- [12] А.А. Снарский. ЭДС элементов, использующих анизотропию термоэде // *ФТП*, **11**(10), сс.2053-2055 (1977).

I.V. Gutsul, A.A. Ashcheulov, V.I. Gutsul

The Investigation of Volt-Watt Sensitivity of Anisotropic Optic Thermoelement at Temperature-Controlled Side Facet

*Yriy Fedkovych Chernivtsy State University,
2, Kotsubynskyy St., Chernivtsy, 58012, Ukraine, tel. (037-22) 4-43-19, ss-dpt@chnu.cv.ua*

The calculation of two dimensional temperature distribution for anisotropic optic thermoelement (AOT) taking into account the temperature-controlled side facet was carried out. The expression of cross thermoelectromotive force was obtained and volt-watt sensitivity of AOT for cases of optical carrying and surface absorption.